

# Procesamiento de Señales e Imágenes Digitales: Cálculo Eficiente de la Transformada Discreta de Fourier

MSc. Renán Rojas G.

Pontificia Universidad Católica del Perú

- Herramienta esencial para el análisis y diseño de sistemas en el dominio de la frecuencia.
- La capacidad de calcular la **DFT** con el menor costo computacional posible es crítica en muchas disciplinas.
- De manera colectiva, los algoritmos eficientes para el cálculo de la DFT se denominan **Transformada Rápida de Fourier (FFT)** .
- El costo computacional se mide según el número de multiplicaciones y sumas aritméticas requeridas.

# Evaluación del cálculo directo de la DFT

## 1 DFT directa:

$$X(k) = \sum_{n=0}^{N-1} x[n] W_N^{kn};$$

$$W_N = e^{-j(\frac{2\pi}{N})};$$

## 2 DFT inversa:

$$x[n] = \frac{1}{N} \sum_{k=0}^{N-1} X(k) W_N^{-kn};$$

El cálculo directo de la **DFT** directa requiere de **N** multiplicaciones complejas y **(N-1)** sumas complejas para cada valor. Para todos los valores se requiere un total de  $N^2$  multiplicaciones y  $N(N-1)$  sumas complejas.

\*Cada multiplicación compleja requiere 4 multiplicaciones reales y cada suma compleja requiere 2 sumas reales. Entonces, hallar  $X(k)$  requiere  $4N^2$  multiplicaciones reales y  $4(4N-2)$  sumas reales (aproximadamente  $N^2$  para  $N$  grande.)

# Cálculo eficiente: Método divide y vencerás

- Descomposición del cálculo de una DFT de **N** puntos en múltiples **DFT** de menor tamaño
- Considerando una DFT de **N** puntos y descomponiendo en enteros:  $N = L \cdot M$

**En caso  $x[n]$  no sea de longitud compuesta (i.e. N es primo), es necesario concatenar ceros a la secuencia (zero padding).**

- Es posible ordenar los **N** puntos de la secuencia  $x[n]$  en una matriz bidimensional de  $L$  filas y  $M$  columnas. Lo mismo se puede hacer con los valores calculados de la **DFT**.

El ordenamiento de los puntos tanto de  $x[n]$  como de  $X(k)$  puede ser **row-major** (ordenado por filas) o **col-major** (ordenado por columnas).

# Cálculo eficiente: Método divide y vencerás

Column-wise

$$n = l + mL$$

$l \backslash m$	0	1	2	...	$M-1$
0	$x(0)$	$x(L)$	$x(2L)$	...	$x((M-1)L)$
1	$x(1)$	$x(L+1)$	$x(2L+1)$	...	$x((M-1)L+1)$
2	$x(2)$	$x(L+2)$	$x(2L+2)$	...	$x((M-1)L+2)$
$\vdots$	$\vdots$	$\vdots$	$\vdots$	...	$\vdots$
$L-1$	$x(L-1)$	$x(2L-1)$	$x(3L-1)$	...	$x(LM-1)$

(a) col-major

Row-wise

$$n = Ml + m$$

$l \backslash m$	0	1	2	...	$M-1$
0	$x(0)$	$x(1)$	$x(2)$	...	$x(M-1)$
1	$x(M)$	$x(M+1)$	$x(M+2)$	...	$x(2M-1)$
2	$x(2M)$	$x(2M+1)$	$x(2M+2)$	...	$x(3M-1)$
$\vdots$	$\vdots$	$\vdots$	$\vdots$	...	$\vdots$
$L-1$	$x((L-1)M)$	$x((L-1)M+1)$	$x((L-1)M+2)$	...	$x(LM-1)$

(b) row-major

Figura : Ordenamiento bidimensional

# Cálculo eficiente: Método divide y vencerás

- Asumiendo ordenamiento col-major para  $x[n]$  en la matriz  $x(l, m)$ :  $n = l + m \cdot L$
- Asumiendo ordenamiento row-major para  $X(k)$  en la matriz  $X(p, q)$ :  $k = M \cdot p + q$

Entonces, la **DFT** directa ahora está dada por:

$$X(p, q) = \sum_{m=0}^{M-1} \sum_{l=0}^{N-1} x(l, m) W_N^{(Mp+q)(mL+l)}$$

- Analizando  $W_N$ :  $W_N^{(Mp+q)(Lm+l)} = W_N^{(Mp)(Lm)} \cdot W_N^{Mpl} \cdot W_N^{qLm} \cdot W_N^{lq}$

$$W_N^{(Mp)(Lm)} = W_N^{Npm} = 1;$$

$$W_N^{Mpl} = W_{N/M}^{pl} = W_L^{pl};$$

$$W_N^{qLm} = W_{N/L}^{mq} = W_M^{mq}.$$

# Cálculo eficiente: Método divide y vencerás

- Simplificando:

$$X(p, q) = \sum_{l=0}^{L-1} \left\{ W_N^{lq} \left[ \sum_{m=0}^{M-1} x(l, m) W_M^{mq} \right] \right\} W_L^{pl}.$$

- Entonces, es posible subdividir el problema en tres pasos:

- 1 Cálculo de la **DFT** de M puntos:

$$F(l, q) \triangleq \sum_{m=0}^{M-1} x(l, m) W_M^{mq}; \quad q \in [0; M-1]; \quad l \in [0; L-1].$$

- 2 Cálculo del argumento de la sumatoria exterior:

$$G(l, q) = W_N^{lq} F(l, q); \quad q \in [0; M-1]; \quad l \in [0; L-1]$$

- 3 Cálculo de la **DFT** de L puntos:

$$X(p, q) = \sum_{l=0}^{L-1} G(l, q) W_L^{pl}$$

# Cálculo eficiente: Método divide y vencerás

- El procedimiento hace que el costo computacional sea menor respecto al cálculo directo!
  - 1 **L** transformadas **DFT** de **M** puntos:  $LM^2$  multiplicaciones compuestas y  $LM(M - 1)$  sumas complejas.
  - 2  $LM$  multiplicaciones complejas
  - 3  $ML^2$  multiplicaciones complejas y  $ML(L - 1)$  sumas complejas.Total:  $N(M + L + 1)$  multiplicaciones complejas y  $N(M + L - 2)$  sumas complejas

Ej:  $N = 1000$  separado en  $L = 2$ ;  $M = 500$ :

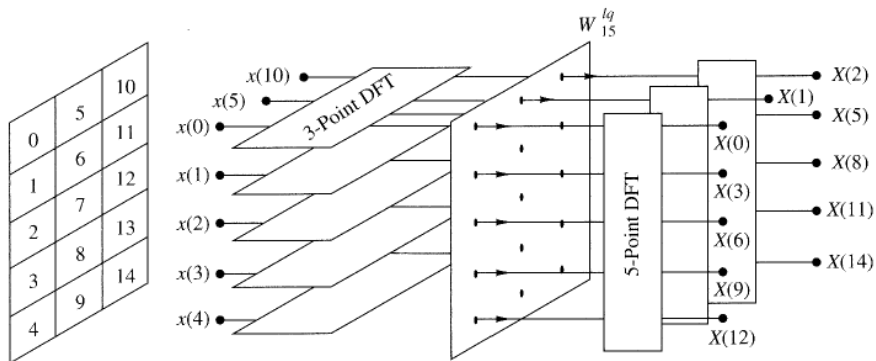
**DFT directa:**  $10^6$  multiplicaciones complejas.

**Divide y vencerás:** 503000 multiplicaciones complejas.



# Cálculo eficiente: Método divide y vencerás

- Ej: Cálculo de la DFT de una secuencia de 15 puntos ( $L = 5$ ;  $M = 3$ )



**Figura :** Algoritmo Divide y Vencerás

# Algoritmos FFT base 2 (Radix-2)

- Considerando una señal  $x[n]$  de  $N = 2^v$  elementos.

**En caso no sea múltiplo de 2, siempre es posible incluir ceros hasta cumplir con la condición.**

- Siguiendo la estrategia de **divide y vencerás**:  $M = \frac{N}{2}$ ;  $L = 2$ . Es decir, se divide  $x[n]$  en dos secuencias:

$$f_1[n] = x[2n]; \quad f_2[n] = x[2n + 1];$$

$$n \in [0; \frac{N}{2} - 1]$$

Dado que  $f_1[n]$  y  $f_2[n]$  son determinadas a partir de diezmado, el método se conoce como **algoritmo de diezmado temporal (decimation in time)**.

# Algoritmos FFT base 2 (Radix-2)

Procedimiento:

1

$$X(k) = \sum_{n \text{ par}} x[n]W_N^{kn} + \sum_{n \text{ impar}} x[n]W_N^{kn}$$

$$X(k) = \sum_{m=0}^{\frac{N}{2}-1} x[2m]W_N^{2mk} + \sum_{m=0}^{\frac{N}{2}-1} x[2m+1]W_N^{k(2m+1)}$$

2  $W_N^2 = W_{\frac{N}{2}}$

$$\therefore X(k) = \sum_{m=0}^{\frac{N}{2}-1} f_1[m]W_{\frac{N}{2}}^{km} + W_N^k \sum_{m=0}^{\frac{N}{2}-1} f_2[m]W_{\frac{N}{2}}^{km}$$

$$X(k) = F_1(k) + W_N^k F_2(k); \quad k \in [0; N-1].$$

Donde  $F_1(k)$  y  $F_2(k)$  son las **DFT** de  $f_1[m]$  y  $f_2[m]$ , respectivamente.

# Algoritmos FFT base 2 (Radix-2)

3 Dado que  $F_1(k), F_2(k)$  son periódicas de periodo  $\frac{N}{2}$  y  $W_N^{k+\frac{N}{2}} = -W_N^k$ :

$$F_1(k + \frac{N}{2}) = F_1(k); \quad F_2(k + \frac{N}{2}) = F_2(k);$$

Entonces podemos determinar  $X(k)$  para dos rangos de  $k$ :

$$X(k) = F_1(k) + W_N^k F_2(k) \quad (1)$$

$$\begin{aligned} X(k + \frac{N}{2}) &= F_1(k + \frac{N}{2}) + W_N^{(k+\frac{N}{2})} F_2(k + \frac{N}{2}) \\ &= F_1(k) + (-W_N^k) F_2(k). \end{aligned} \quad (2)$$

(1) cubre  $k$  en  $[0; \frac{N}{2} - 1]$ . (2) cubre  $k$  en  $[\frac{N}{2}; N - 1]$ .

- Cambio de notación:

$$X(k) = G_1(k) + G_2(k);$$

$$X(k + \frac{N}{2}) = G_1(k) - G_2(k); \quad k \in [0; \frac{N}{2} - 1];$$

$$G_1(k) = F_1(k);$$

$$G_2(k) = W_N^k F_2(k).$$

- Este cálculo requiere de  $\frac{N^2}{2} + \frac{N}{2}$  multiplicaciones complejas. Entonces, para valores altos de  $N$  requiere aproximadamente la mitad de multiplicaciones complejas respecto al cálculo directo de la **DFT**!

# Algoritmos FFT base 2 (Radix-2)

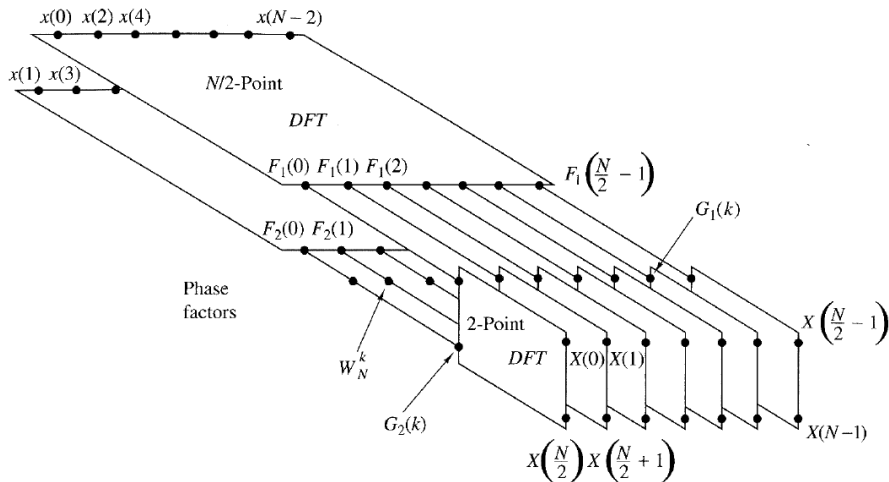


Figura : Cálculo de la DFT a partir de algoritmos base 2

- A partir de diezmado, tal como se realizó en el procedimiento anterior, es posible generar el cálculo de la DFT a partir de múltiples subproblemas de menor tamaño. Entonces, de manera general, es posible diezmarse iterativamente hasta obtener **secuencias de un solo elemento**.

**1** Ej: del procedimiento anterior, diezmarse cada secuencia y obtener cuatro nuevos subproblemas:

$$v_{11}[n] = f_1[2n]; \quad v_{12}[n] = f_1[2n + 1]; \quad n \in [0; \frac{N}{4} - 1];$$

$$v_{21}[n] = f_2[2n]; \quad v_{22}[n] = f_2[2n + 1]; \quad n \in [0; \frac{N}{4} - 1];$$

# Algoritmos FFT base 2 (Radix-2)

2 Calcular **DFT** de  $\frac{N}{4}$  puntos:

$$F_1(k) = V_{11}(k) + W_{\frac{N}{2}}^k V_{12}(k);$$

$$F_1(k + \frac{N}{4}) = V_{11}(k) - W_{\frac{N}{2}}^k V_{12}(k);$$

$$F_2(k) = V_{21}(k) + W_{\frac{N}{2}}^k V_{22}(k);$$

$$F_2(k + \frac{N}{4}) = V_{21}(k) - W_{\frac{N}{2}}^k V_{22}(k);$$

\*  $V_{ij}(k)$ : DFT de la cada secuencia  $v_{ij}[n]$ .

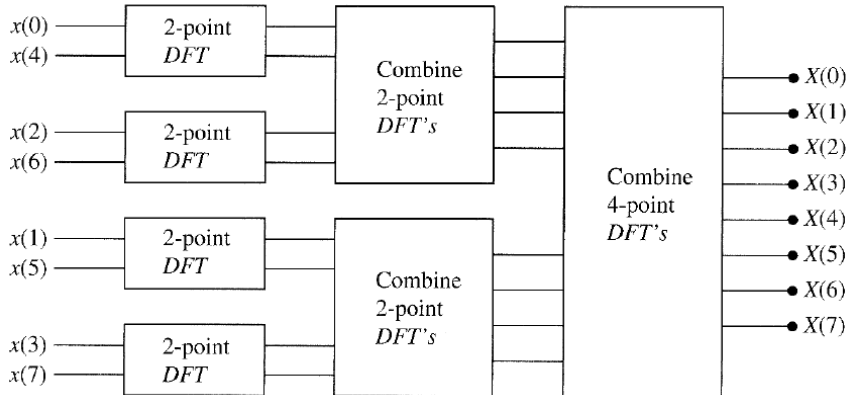
\* De la misma forma, el número de multiplicaciones complejas se reduce de  $\frac{N}{2}$  a  $\frac{N}{4}$ .

\* **Es posible seguir diezmando y el costo computacional se seguira reduciendo hasta el límite de 1 elemento por secuencia.**



# Algoritmos FFT base 2 (Radix-2)

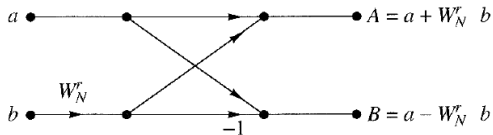
- Ej: Cálculo de la **DFT** de  $N = 8$  puntos:



**Figura :** Cálculo de la DFT de 8 elementos a partir de algoritmos base 2

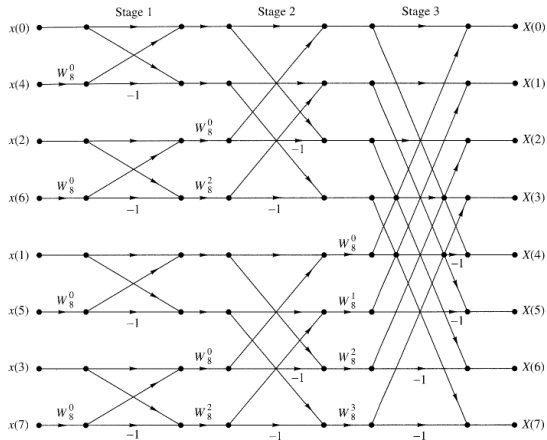
# Algoritmos FFT base 2 (Radix-2)

- El bloque básico en cada etapa del algoritmo es tomar dos números complejos  $(a, b)$ , multiplicar  $b$  por  $W_N^r$ , y luego sumarlos y restarlos de  $a$ . Esto da como resultado dos números complejos  $A, B$ . El bloque básico se denomina **Mariposa (twiddle)**.



**Figura :** Bloque básico en el diezmado temporal: Mariposa (Twiddle)

# Algoritmos FFT base 2 (Radix-2)



**Figura :** Diezmado temporal descrito a partir de bloques elementales (twiddles)

# Algoritmos FFT base 2 (Radix-2)

- Dado  $N = 2^v$ , el diezmado puede realizarse  $v = \log_2 N$  veces. En este caso, las multiplicaciones complejas se reducen a  $\frac{N}{2} \log_2 N$  y las sumas complejas a  $N \cdot \log_2 N$

**TABLE 8.1** Comparison of Computational Complexity for the Direct Computation of the DFT Versus the FFT Algorithm

Number of Points, $N$	Complex Multiplications in Direct Computation, $N^2$	Complex Multiplications in FFT Algorithm, $(N/2) \log_2 N$	Speed Improvement Factor
4	16	4	4.0
8	64	12	5.3
16	256	32	8.0
32	1,024	80	12.8
64	4,096	192	21.3
128	16,384	448	36.6
256	65,536	1,024	64.0
512	262,144	2,304	113.8
1,024	1,048,576	5,120	204.8

**Figura :** Costo computacional de la DFT vs. la FFT a partir de algoritmos base 2

- (1) Proakis, J. G. & Manolakis, D. K. (2006), Digital Signal Processing (4th Edition), Prentice Hall.
- (2) Oppenheim, A.V., Schafer, R. W., & Buck, J.R. (2009), Discrete-Time Signal Processing (3rd Edition), Prentice-Hall.